

# بررسی اثر انعطاف‌پذیری پوشش سازه‌ی زیرزمینی در پاسخ شتاب سطح زمین

محمدحسن بازیار (استاد)

مسعود رابطی مقدم<sup>\*</sup> (دانشجوی دکتری)

دانشکده‌ی هندسی عمران، دانشگاه علم و صنعت

دانگ - سو کیم (استاد)

بون وول چوو (استاد)

دانشگاه کاپست کره جنوبی

مهندسى عمران شرف، (زمین‌شناسان ۱۳۹۴) دری ۲ - ۳، شماره ۲ / ۳، ص. ۸۹-۹۶

در این نوشتار پس از صحبت‌سنجدی یک مدل عددی با نتایج آزمایش‌های سانتریفیوژ انجام شده بروی یک تونل مترو، اثر انعطاف‌پذیری پوشش تونل در پاسخ شتاب سطح زمین مورد مطالعه قرار گرفته است. نتایج مطالعه‌ی پارامتری نشان می‌دهد که دو سیستم با ضریب انعطاف‌پذیری یکسان، ولی با جنس متفاوت منجر به پاسخ پکسان شتاب در سطح زمین می‌شوند. پارامتر ضریب انعطاف‌پذیری، پاسخ شتاب در سطح زمین را تحت تأثیر قرار می‌دهد و این مسئله تحت تأثیر محتوای بسامدی حرکت ورودی و بسامد طبیعی سیستم است. پوشش سخت‌تر (با ضریب انعطاف‌پذیری کمتر) باعث بزرگ‌نمایی بیشتر پاسخ در دوره‌های تناوب پایین نسبت به پوشش‌های منعطف‌تر شده است، که می‌تواند برای ساختمانهای کوتاه مجاور تونل مسئله‌ساز باشد. در حالی که پوشش منعطف‌تر منجر به پاسخ بیشتر شتاب در دوره‌های تناوب بلندتر نسبت به پوشش‌های سخت‌تر می‌شود، که سازه‌های بلند را تهدید می‌کند.

bazier@iust.ac.ir  
rabeti@iust.ac.ir  
dskim@kaist.ac.kr  
ywchoo@kaist.ac.kr

وازگان کلیدی: سازه‌ی زیرزمینی، ضریب انعطاف‌پذیری، پاسخ شتاب، سطح زمین، نرم‌افزار ۲D .FLAC

## ۱. مقدمه

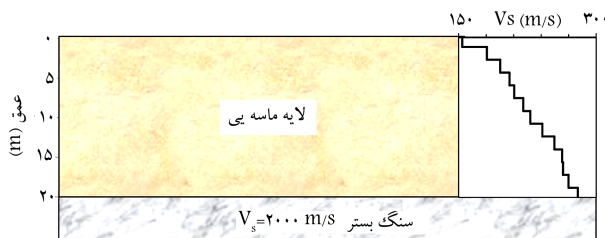
حرف فضاهای زیرزمینی مورد مطالعه و بررسی نسبتاً وسیعی قرار گرفته است.<sup>[۶]</sup> با وجود اثبات اثر حضور این قبیل سازه‌ها در پاسخ لرزه‌ی سطح زمین، اثر اندرکنشی این قبیل سازه‌ها در محیط مجاور و سازه‌های اطراف در حالت لرزه‌ی کمتر مورد توجه پژوهشگران و آین نامه‌ها واقع شده است.<sup>[۷]</sup> غالب مطالعات صورت‌گرفته در این زمینه به صورت حل‌های تحلیلی یا مدل‌های عددی با فرضیات ساده‌شده‌ی مانند حل در محیط‌های کشسان بوده است. مدل‌لیل وجود متغیرهای متعدد مؤثر در مسئله‌ی اثر سازه‌ی زیرزمینی در پاسخ لرزه‌ی سطح زمین از قبیل: عمق، هندسه و ابعاد سازه‌ی زیرزمینی، مشخصات تحریک ورودی، رفتار خطی و غیرخطی خاک و انعطاف‌پذیری پوشش سازه‌ی زیرزمینی تاکنون جمع‌بندی شخصی در این زمینه در ادبیات فنی وجود ندارد. از جمله پارامترهای مؤثر در مسئله‌ی انعطاف‌پذیری پوشش سازه‌ی زیرزمینی است، که توسط مطالعات پیشین به طور خاص بررسی نشده و در این مطالعه به بررسی این پارامتر در یک مطالعه‌ی عددی غیرخطی پرداخته شده است.

از میان مطالعات عددی، کامل‌ترین مطالعه‌ی صورت‌گرفته درخصوص پارامترهای مؤثر در پاسخ لرزه‌ی سطح زمین ناشی از حضور سازه‌ی زیرزمینی، مطالعه‌یی است که در سال ۲۰۰۷ در یونان انجام شده است.<sup>[۷]</sup> و در آن تأثیر پارامترهایی

از دیاد جمعیت کلان‌شهرها منجر به کاهش فضاهای موجود در سطح شهرها شده و گسترش بیش از پیش فضاهای زیرزمینی نظری: تونل‌های مترو، تونل‌های تأسیساتی، انبارهای زیرزمینی، تونل‌های انتقال آب و فاضلاب شهری را به دنبال داشته است. امر وظیه این قبیل فضاهای از زیرساخت‌های اساسی شهرنشینی مدرن محسوب می‌شوند. عملکرد این‌گونه سازه‌ها در زمان بهره‌برداری و در موقعیت بحران مورد توجه مهندسان و پژوهشگران بسیاری بوده است. هر چند در اذهان طراحان و مهندسان، این قبیل سازه‌ها از لحاظ عملکرد لرزه‌ی در دسته‌ی سازه‌های کم خطر در برابر زلزله تلقی می‌شوند، اما خسارات وارد به این قبیل سازه‌ها در حین زلزله‌ها (مانند خرابی ایستگاه مترو دایکی<sup>۱</sup> ژاپن در زلزله‌ی کوبه)<sup>[۸]</sup> باعث شده است تا این مسئله به صورت تحلیلی، آزمایشگاهی و عددی مورد بررسی و مطالعه قرار گیرد.<sup>[۹-۱۰]</sup> از سوی دیگر، تأثیر ساخت و وجود این قبیل فضاهای سازه‌ها در محیط پیرامون و عملکرد سازه‌های اطراف و بالعکس،<sup>[۱۱]</sup> موضوعی است که مورد توجه بسیاری از پژوهشگران بوده است. این مسئله در شرایط استاتیکی در قالب بررسی نشسته‌های سطح زمین ناشی از

\* نویسنده مسئول

تاریخ: دریافت ۱۵/۱۰/۱۳۹۲، اصلاحیه ۱۸/۱۲/۱۳۹۲، پذیرش ۲۷/۱۲/۱۳۹۲.



شکل ۱. شرایط ریزونکنیکی در محل مسئله ای مورد مطالعه‌ی مدل شده در آزمایش‌های سانتریفیوژی

(PGA) در آزمایش‌ها استفاده شده است. در شکل ۱، شرایط ریزونکنیکی در محل مسئله‌ی مورد مطالعه‌ی مدل شده در آزمایش‌های سانتریفیوژ مشاهده می‌شود، که مشکل از یک لایه ۲۰ متری ماسه‌ی خشک است، که روی سنگ پستر با سرعت موج برشی ۲۰۰۰ متر بر ثانیه واقع شده است. خاک مورد استفاده در آزمایش‌ها، برآمدگیری خشک سیلیکاتی است، که پروفیل سرعت موج برشی آن در برابر عمق در شکل ۱ ترسیم شده است. بارگذاری دینامیکی از طریق یک میزلهزه در حین چرخش سانتریفیوژ به مدل اعمال شده است. جزئیات کامل آزمایش‌های مذکور در پژوهشی در سال ۲۰۱۱<sup>[۱۶]</sup> گزارش شده است.

نظیر: عمق بدون بعد، بسامد بدون بعد و ضریب انعطاف‌پذیری پوشش تونل در پاسخ لرزه‌ی سطح زمین مورد مطالعه‌ی عددی قرار گرفته و درخصوص پارامتر ضریب انعطاف‌پذیری پوشش تونل این نتیجه به دست آمده است که پوشش‌های سخت تر تونل، اثر حضور تونل در پاسخ زمین را کاهش می‌دهند. هر چند در مطالعه‌ی مذکور به بررسی پارامترهای مختلف مؤثر در مسئله پرداخته شده است، اما اعتبار تاییح حاصله در آن محدود به محیطی با رفتار کشسان خواهد بود.

مطالعات آزمایشگاهی انجام شده در این زمینه محدود است. مطالعات سانتریفیوژی وسیعی در سال ۲۰۱۱ در دانشگاه کمبریج بر روی رفتار لرزه‌ی تونل‌های زیرزمینی صورت گرفته است.<sup>[۱۷]</sup> ولیکن تمرکز اصلی مطالعات ذکر شده بر رفتار لرزه‌ی خود تونل در شرایط زلزله معطوف بوده است. با این حال، تأثیر حضور تونل در پاسخ سطح زمین نیز توسط آن‌ها مورد بررسی اجمالی قرار گرفته است. همچنین در مطالعه‌ی مذکور تأثیر پارامترهایی از جمله: عمق قرارگیری تونل، انعطاف‌پذیری پوشش تونل و مشخصه‌های تحریک ورودی در رفتار لرزه‌ی دو نوع تونل مرتعی و دایره‌ی مورد بررسی قرار گرفته و درخصوص پارامتر انعطاف‌پذیری پوشش تونل چنین نتیجه‌گیری شده است که میزان بزرگ نمایی برای تونل انعطاف‌پذیر و صلب متفاوت است، که به معنای رفتار لرزه‌ی متفاوت دو نوع تونل با ضریب انعطاف‌پذیری متفاوت است. همچنین پوشش تونل انعطاف‌پذیر، پاسخ بیشتری در دوره‌های تناوب بلندتر نسبت به تونل صلب دارد، که به معنی بسامد طبیعی کمتر تونل انعطاف‌پذیر نسبت به تونل صلب است.

همچنین، در پژوهشی در سال ۲۰۱۱<sup>[۱۸]</sup> با مدل سازی سانتریفیوژی کالورت‌های مربعی به بررسی اثر پارامترهایی نظیر: ضخامت کالورت، تراکم خاک، دامنه‌ی شتاب ورودی و اثر حضور روسازه در شتاب ثبت شده در اطراف کالورت‌ها پرداخته شده است. نتایج ارائه شده از مطالعه‌ی مذکور بسیار محدود بوده و نتایج آن نشان داده است که وجود سازه‌ی مدفعون، مقادیر شتاب‌های بیشینه سطح زمین را کاهش می‌دهد. دلیل این امر عدم تبعیت حرکت سازه با حرکت خاک اطراف آن ذکر شده است، که باعث کاهش پاسخ زمین در بالای سازه‌ی زیرزمینی نسبت به منطقه‌ی میدان آزاد می‌شود. همچنین مشاهده شده است که با افزایش مقادیر شتاب بیشینه موج ورودی در پایین مدل، اثر کاهنده‌ی وجود حفره در امواج نمایان تر شده و نیز جمع‌بندی مشخصی درخصوص تأثیر ضخامت کالورت (انعطاف‌پذیری پوشش) در نتایج صورت نگرفته است.

در این نوشتار، تأثیر پارامتر انعطاف‌پذیری پوشش تونل در پاسخ شتاب سطح زمین در حالت رفتار غیرخطی خاک مورد بررسی قرار گرفته است. بدین منظور ابتدا یک مدل عددی غیرخطی به کمک نرم‌افزار FLAC ۲D با نتایج آزمایش‌های سانتریفیوژ صورت گرفته در دانشگاه کایست<sup>۲</sup> کره‌ی جنوبی، که به منظور مطالعه‌ی لرزه‌ی رفتار تونل زیرزمینی مترو صورت گرفته است، صحبت‌سنگی شده است. سپس تأثیر انعطاف‌پذیری پوشش تونل در پاسخ شتاب سطح زمین در یک مطالعه‌ی پارامتری با فرض ۳ جنس مختلف (۳ ضریب انعطاف‌پذیری متفاوت) برای پوشش تونل مورد بررسی و تحلیل واقع شده است.

## ۲. آزمایش‌های سانتریفیوژ

مجموعه‌یی از آزمایش‌های سانتریفیوژ دینامیکی در دانشگاه کایست کره‌ی جنوبی به منظور مطالعه‌ی رفتار لرزه‌ی تونل جعبه‌یی شکل مترو در شتاب سانتریفیوژی ۴۰ انجام و در آن‌ها از تحریک ورودی با مقادیر بیشینه‌ی شتاب‌های مختلف

### ۱.۲. مشخصات دستگاه سانتریفیوژ کایست

سانتریفیوژ کایست با بازوی ۵ متر، ظرفیت (g-ton)<sup>[۱۹]</sup> ۲۴۰ دارد، که شتاب بیشینه‌ی آن در حالت استاتیکی برابر  $g = 130$  است. این سانتریفیوژ مجهز به یک میزلهزه است، که در حین چرخش عمل می‌کند. این میز توانایی ایجاد شتاب  $g = 50$  در مقیاس نمونه‌ی اصلی (پروتوتاپ)<sup>[۲۰]</sup> را دارد. همچنین بسامد اعمالی از طرف میز در محدوده‌ی ۴۰ الی ۳۰۰ هرتز در مقیاس مدل است. مشخصات کامل دستگاه سانتریفیوژ مذکور در پژوهشی در سال ۲۰۱۳<sup>[۱۷]</sup> ارائه شده است. همچنین به منظور شبیه‌سازی مرز نیمه‌ی بینهایت در اطراف محفظه‌ی مدل از یک جعبه‌ی ESB (تیر برشی معادل) استفاده شده و عملکرد لرزه‌ی جعبه‌ی ESB مذکور در پژوهش دیگری در همان سال<sup>[۱۸]</sup> مورد بررسی قرار گرفته است.

### ۲.۲. فهرست آزمایش‌های سانتریفیوژ انجام شده

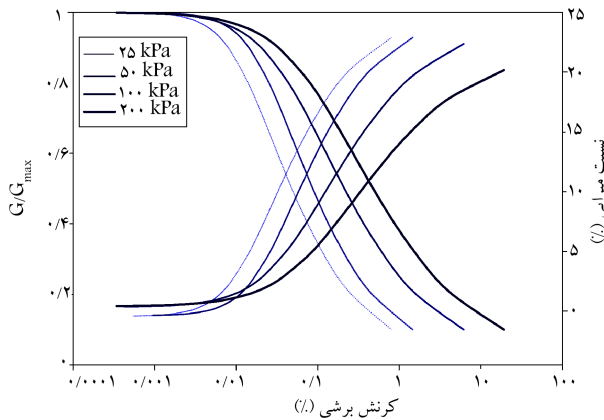
فهرست آزمایش‌های سانتریفیوژ انجام شده به همراه مشخصات آنها در جدول ۱ ارائه شده است.<sup>[۱۶]</sup> از میان آزمایش‌های انجام شده، آزمایش شماره‌ی T۲-۱ برای این مطالعه انتخاب شده است. هندسه‌ی مدل شماره‌ی T۲-۱ در مقیاس پروتوتاپ در شکل ۲ نشان داده شده است. مدل شامل تونل جعبه‌یی از نوع کند و پوش واقع بر سنگ پستر، خاکریزهای جانبی و فوقانی تونل است. در این نوشتار، مدل سازی عددی این آزمایش تشرییح و نتایج تحلیل‌های عددی با نتایج آزمایش سانتریفیوژ معرفی شده، صحبت‌سنگی شده است.

### ۳. مشخصات مهندسی ماسه‌ی مورد استفاده

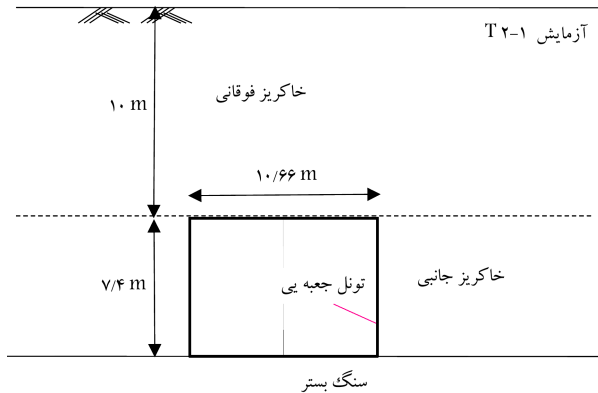
خاک ماسه‌یی در آزمایش‌ها به صورت خشک مورد استفاده قرار گرفته و پارامترهای فیزیکی و مکانیکی آن در جدول ۲ ارائه شده است. مشخصات غیرخطی این ماسه (منحنی تعییرات  $G/G_{max}$ ) و نسبت میرایی در برابر کرنش برشی) که از آزمایش‌های

جدول ۱. فهرست آزمایش‌های سانتریفیوژ انجام شده. [۱۶]

شناسه‌ی آزمایش	هدف آزمایش	ضخامت خاکریز جانبی (متر)	ضخامت خاکریز فوقاری (متر)	تحریک ورودی	شرایط خاک
FF	پاسخ میدان آزاد	۰/۴	۰/۷	یک لایه ماسه به ضخامت ۰/۷ متر	رزللهای کوبه و نورتريج با PGA های مختلف
T۱	پاسخ تونل جعبه‌ی شکل	۵	۷/۴		
T۲-۱	پاسخ تونل جعبه‌ی شکل	۱۰	۷/۴		
T۲-۲	پاسخ تونل جعبه‌ی شکل	۱۰	۷/۴		



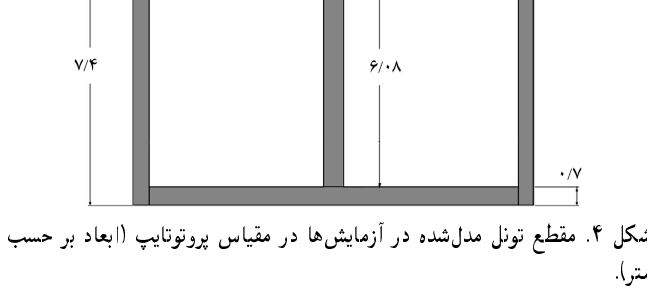
شکل ۳. تغییرات منحنی  $G/G_{max}$  و نسبت میرایی در برابر کرنش برشی ماسه‌ی مورد آزمایش.



شکل ۲. آزمایش ۱ در مقیاس پروتوتاپ.

جدول ۲. مشخصات فیزیکی و مکانیکی ماسه‌ی مورد استفاده.

پارامتر	واحد	مقدار
نام خاک بر حسب طبقه‌بندی متحده	-	SP
وزن مخصوص خشک بیشینه	کیلونیوتن بر مترمکعب	۱۶/۱
وزن مخصوص خشک کمینه	کیلونیوتن بر مترمکعب	۱۲/۲
وزن مخصوص طبیعی	کیلونیوتن بر مترمکعب	۱۵/۴
زاویه‌ی اصطکاک داخلی	درجه	۴۵
چسبندگی	کیلوپاسکال	۰
تراکم	%	۸۴
نسبت پرسون	-	۰/۳



شکل ۴. مقطع تونل مدل شده در آزمایش‌ها در مقیاس پروتوتاپ (ابعاد بر حسب متر).

ستون تشدید در ۴ فشار همه‌جانبه‌ی ۲۵، ۵۰، ۱۰۰ و ۲۰۰ کیلوپاسکال به دست آمده است، در شکل ۳ نشان داده شده است.

## ۵.۲. ابزارگذاری مدل‌ها

از ابار شتاب‌سنج مینیاتوری به منظور ثبت شتاب افقی در آزمایش‌ها استفاده شده است. برای مدل T2-۱، شتاب‌سنج مطابق شکل ۵ جهت ثبت شتاب در داخل خاک روی سازه و روی جعبه به کار رفته است. شتاب‌سنج A۲۰ به عنوان شتاب ورودی آزمایش T2-۱ در مدل‌سازی عددی استفاده شده است.

## ۶. تحریک‌های ورودی به مدل‌ها

از دو نوع موج ورودی (رزللهای کوبه و نورتريج) با PGA های مختلف (تا بیشینه‌ی ۰/۲۵) در آزمایش‌های سانتریفیوژی استفاده شده است. شکل ۶، تاریخچه‌ی زمانی شتاب این دو زلزله را نشان می‌دهد. مشخصات این دو زلزله در جدول ۳ ارائه شده است. بسامد غالب زلزله‌ی کوبه و نورتريج به ترتیب برابر ۱/۴ و ۳ هرتز است.

## ۴.۲. مشخصات تونل زیرزمینی

سازه‌ی زیرزمینی مدل شده در آزمایش‌ها از میان تونل‌های جعبه‌ی شکل متزوی سوئل کره‌ی جنوبی، که به صورت کند و پوش اجرا شد، انتخاب شده است. تونل جعبه‌ی در مقیاس پروتوتاپ به صورت تونل دو دهانه بوده است، که مقطعی مستطیلی با عرض ۰/۶۶، ارتفاع ۰/۴ متر، و طول ۱۹/۶ متر دارد. مابین دو دهانه، ستون‌هایی به فواصل مختلف از یکدیگر در طول تونل واقع شده‌اند. مقطع این تونل جعبه‌ی شکل در شکل ۴ نشان داده شده است. تونل پروتوتاپ از جنس بتن با مدل کشسانی ۲۴ گیگاپاسکال بوده است. این تونل جعبه‌ی با درنظرگرفتن قوانین مقیاسی در مدل سانتریفیوژی با جعبه‌ی از جنس آلومینیوم و در مقیاس یک چهلم ساخته شده است.

### ۱.۳. المان‌بندی مدل

در مدل‌سازی‌های عددی، ابعاد المان باید به نحوی انتخاب شود تا این ۳ شرط (به ویژه شرط سوم) برآورده شوند:

۱. دقیق تحلیل: ابعاد ریزتر المان تا یک میزان به مراتله‌ی دقیق بیشتر تحلیل خواهد بود.

۲. سرعت تحلیل: با کاهش ابعاد المان سرعت تحلیل به ویژه در مسائل دینامیکی کاهش خواهد یافت.

۳. انتشار صحیح موج در محیط: بیشینه‌ی اندازه‌ی المان در مسائل دینامیکی انتشار موج باید طوری باشد تا انتشار موج در محیط به درستی صورت گیرد. به منظور انتشار صحیح موج در محیط، کولمر و لیسمر (۱۹۷۳)،<sup>۱۶</sup> بیشینه‌ی ابعاد المان ( $\Delta l$ ) را به رابطه‌ی ۱ محدود کرده‌اند:

$$\Delta l \leq \frac{\lambda}{10} \quad (1)$$

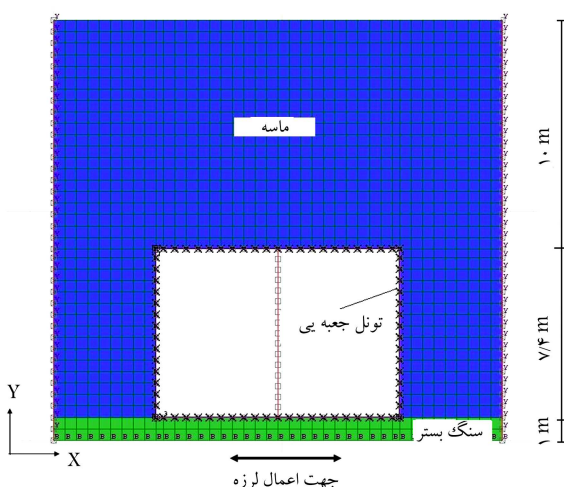
که در آن،  $\lambda$  طول موج انتشار یافته در محیط است که با کمینه‌ی سرعت موج بر بشی در محیط ( $V s_{\min}$ ) و بیشینه‌ی سامد تحریک ورودی ( $f_{\max}$ ) به صورت رابطه‌ی ۲ آمده است:

$$\lambda_{\min} = V s_{\min} / f_{\max} \quad (2)$$

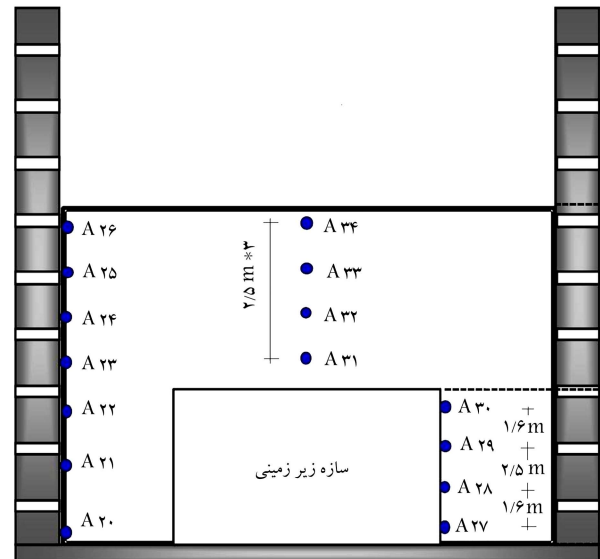
طبق دو رابطه‌ی ذکر شده، بیشینه‌ی ابعاد المان‌ها به منظور انتشار صحیح موج در محیط به صورت رابطه‌ی ۳ تعیین می‌شود:

$$\Delta l \leq \frac{V s_{\min}}{10 \times f_{\max}} \quad (3)$$

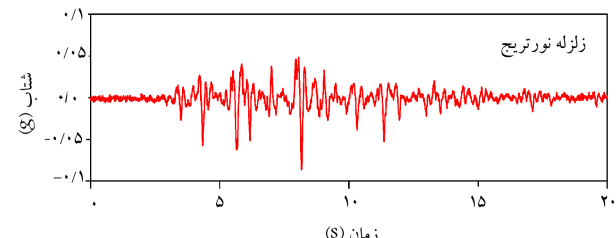
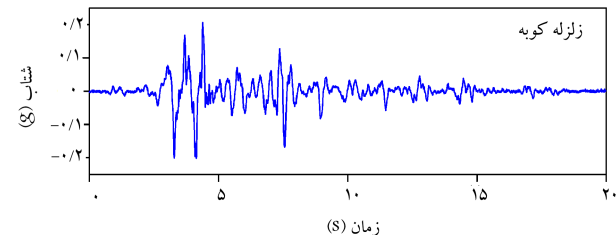
با توجه به کمینه‌ی سرعت موج بر بشی خاک ماسه‌یی مورد بررسی برابر با ۱۵۰ متر بر ثانیه و سامد بیشینه‌ی زلزله برابر ۱۰ هرتز، بیشینه‌ی ابعاد المان طبق رابطه‌ی ۳ به ۱/۵ متر محدود می‌شود. این تذکر لازم است که در تحلیل‌های عددی، سامدهای بالاتر از ۱۰ هرتز امواج ورودی زلزله فیلتر شده‌اند. به منظور دقیق در تحلیل‌های عددی صورت‌گرفته، از المان‌های ۴ ضلعی کرنش مسطح با بیشینه‌ی ابعاد ۰/۵ متر استفاده شده است. المان‌بندی مدل T2-1 در شکل ۷ ارائه شده است.



شکل ۷. المان‌بندی مدل T2-1 در نرم افزار FLAC



شکل ۵. ابزارگذاری مدل سانتریفیوژی شماره‌ی T2-1.



شکل ۶. تاریخچه‌ی زمانی شتاب‌نگاشت‌های مورد استفاده.

جدول ۳. مشخصات زلزله‌های کوبه و نورتریپ استفاده شده در آزمایش‌ها.

زلزله	ایستگاه	بزرگا	فاصله از گسل	سال وقوع	لرزه‌نگاری	مسبب (کیلومتر)
کوبه	KJMA	۶,۹	۰,۶	۱۹۹۵		
نورتریپ	Anaheim	۶,۷	۷۰	۱۹۹۴		

### ۳. مدل‌سازی عددی آزمایش T2-1

مدل‌سازی عددی آزمایش سانتریفیوژ انتخاب شده (آزمایش T2-1) با نرم افزار دو بعدی اختلاف محدود ۲D FLAC انجام شده است. نرم افزار مذکور قوانایی انجام تحلیل دینامیکی غیرخطی با درنظر گرفتن اندرکنش خاک - سازه را دارد. آزمایش در مقیاس پروتوتاپ در نرم افزار مدل‌سازی شده و جزئیات آن در ادامه ارائه شده است.

پس از بررسی نتایج حاصل شده، مدل عددی با ابعاد معرفی شده (شکل ۷) و با شرایط مرزی توضیح داده شده، به عنوان مناسب ترین مدل جهت پیش‌بینی مناسب نتایج آزمایش‌های سانتریفیوژ انتخاب شده است.

### ۳.۳. مدل‌سازی رفتار غیرخطی خاک

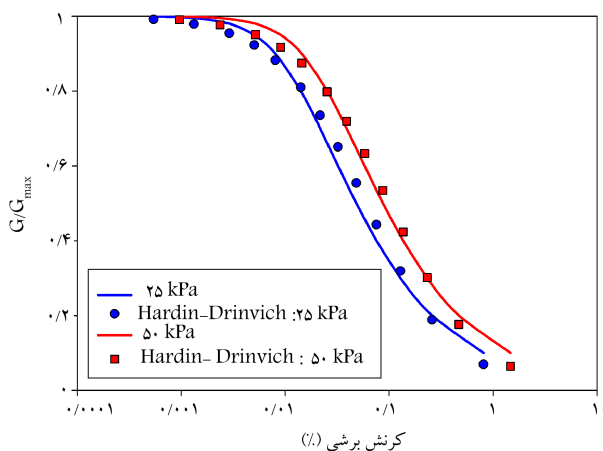
از مدل کشسان خمیری موهر کولمب برای مدل‌سازی رفتار خاک جهت تحلیل استاتیکی مدل استفاده شده است. مطابق شکل ۱، مدول کشسانی خاک تابعی از عمق است که به صورت متغیر با عمق به نرم افزار معرفی شده است. سایر پارامترهای این مدل مطابق مقادیر ارائه شده در جدول ۲ لحاظ شده‌اند.

میرایی واقعی در محیط‌های خاکی به صورت هیسترزیس است، لذا رفتار خاک در حالت دینامیکی در مدل غیرخطی در محدوده کشسان به صورت غیرخطی و با میرایی هیسترزیس مدل شده است. در نرم افزار FLAC از منحنی‌های کاهش مدول و میرایی، که در تحلیل‌های معادل خطی معمول است، به منظور مدل‌سازی میرایی هیسترزیس جهت انجام تحلیل دینامیکی غیرخطی استفاده می‌شود.<sup>[۲۲]</sup> برای این منظور، منحنی تغییرات  $G/G_{\max}$  در برابر کرنش برشی ( $\gamma_{ref}$ ) با پارامترهای یکی از مدل‌های هیسترزیس موجود در نرم افزار کالیبره و به نرم افزار معرفی می‌شود. در این مطالعه از مدل هارдин - درینویج<sup>۹</sup> استفاده شده است، که در آن رابطه‌ی بین  $G/G_{\max}$  و  $\gamma$  به صورت رابطه‌ی <sup>۴</sup> تعریف می‌شود:

$$\frac{G}{G_{\max}} = \frac{1}{1 + \frac{\gamma}{\gamma_{ref}}} \quad (4)$$

که در آن،  $\gamma_{ref}$  کرنش برشی مرجع است، و به میران کرنش برشی در  $= G/G_{\max}$  اطلاق می‌شود. تمامی منحنی‌های  $G/G_{\max}$  خاک ماسه‌یی ارائه شده در شکل ۳ با مدل هارдин - درینویج کالیبره شده‌اند. شکل ۸، منحنی‌های کالیبره شده‌ی آزمایش‌ها با مدل هارдин - درینویج را نشان می‌دهد. مدل هیسترزیس غیرخطی به لایه‌های مختلف خاک بر حسب تنش مؤثر متوسط در هر عمق معرفی شده است.

چرخه‌ی هیسترزیس تشن - کرنش غیرخطی برای یک المان در وسط مدل ناشی از ۱۵ سیکل بارگذاری هارمونیک با  $g = ۰,۱$  g و بسامد ۳ هرتز در شکل ۹ نشان داده شده است. مساحت چرخه، میان میرایی هیسترزیس است.



شکل ۸. منحنی‌های  $G/G_{\max}$  کالیبره شده‌ی آزمایش‌ها با مدل هارдин - درینویج.

### ۲.۳. شرایط مرزی مدل

صحبت‌سنجدی نتایج مدل عددی با نتایج آزمایش‌های سانتریفیوژ، مستلزم مدل‌سازی صحیح شرایط مرزی مدل‌های سانتریفیوژی توسط مدل عددی است. شرایط مرزی مدل‌های سانتریفیوژی شامل مدل‌سازی مرز پایینی جعبه‌ی مدل و مرزهای جانبی جعبه‌ی ESB است. این مرزها در مدل عددی به این صورت مدل‌سازی شده است: تحریک ورودی در نرم افزار FLAC با فرض کف صلب و یا کف نرم<sup>۵</sup> به دو صورت قابل اعمال است:

الف) در حالت کف صلب، تحریک ورودی به صورت تاریخچه‌ی زمانی شتاب به کف مدل اعمال می‌شود.

ب) در حالت کف نرم، از یک مرز آرام<sup>۶</sup> در کف مدل استفاده شده و تحریک ورودی در قالب تاریخچه‌ی زمانی تنش به کف مدل اعمال می‌شود.<sup>[۲۰]</sup>

در آزمایش‌های سانتریفیوژی، کف مدل به صورت یک مرز صلب عمل می‌کند و امواج ورودی همانند یک مرز صلب به داخل مدل منعکس می‌شود. بنابراین میرایی تشبعی در این آزمایش‌ها مدل نمی‌شود. در مدل عددی، مرز کف به صورت مرز صلب در نظر گرفته شده و با یک لایه‌ی سنگی به ضخامت ۱ متر از جنس سنگ پستر محل مدل‌سازی شده است. تحریک ورودی به صورت تاریخچه‌ی زمانی شتاب به سراسر کف مدل اعمال شده است. این تذکر لازم است که مدل پروتوتاپ دارای شرایطی مشابه مدل سانتریفیوژی است، که در آن لایه‌ی ماسه‌یی بر سنگ پستر صلب واقع شده است.

فاصله از مرزهای جانبی برابر با ابعاد جعبه‌ی سانتریفیوژ در مقیاس نمونه‌ی واقعی (پروتوتاپ) در نظر گرفته شده است. ابعاد انتخابی مرزهای جانبی در مدل عددی براساس پژوهشی در سال ۲۰۱۱<sup>[۲۱]</sup> که در آن به مدل‌سازی عددی آزمایش‌های سانتریفیوژ پرداخته شده است و همچنین با ارزیابی نتایج دو مدل با مرزهای جانبی متفاوت (یک مدل با گسترش مرزهای جانبی تا مرز دور و مدل دیگر با مرزهای جانبی محدود برابر با ابعاد جعبه‌ی سانتریفیوژ در مقیاس پروتوتاپ) تا رسیدن به بهترین نتیجه در صحبت‌سنجدی نتایج بوده است.

مرزهای جانبی مدل سانتریفیوژی با درنظر گرفتن مشخصه‌ی اصلی جعبه‌ی ESB مدل‌سازی شده است. عملکرد مرزهای جانبی جعبه‌ی ESB طوری بوده است که تمام نقاط همارتفاع، با تغییر مکان یکسان و هم‌جهت در راستای اعمال لرزش (راستای افقی) بوده‌اند و در جهت قائم هیچ‌گونه تغییر مکانی نداشته‌اند. برای مدل‌سازی این مشخصه، از یک المان سازه‌یی (المان لایزر<sup>۷</sup> در FLAC) به ضخامت ناچیز ۱ میلی‌متر در مرز دو طرف مدل استفاده شده است. گره‌های این المان سازه‌یی به گره‌های خاک محدود شده است، به طوری که هیچ‌گونه لغزش و جداگانه بین آنها اتفاق نیافتد. مدول کشسانی این المان‌ها با مدول کشسانی خاک یکسان در نظر گرفته شده است. سپس به کمک دستور SLAVE در نرم افزار FLAC، تغییر مکان افقی گره‌های همارتفاع دو طرف جعبه طوری به یکدیگر محدود شده‌اند که در هر لحظه، تغییر مکان یکسان و هم‌جهت با هم داشته باشند. این تذکر لازم است که المان لایزر فقط به منظور شبیه‌سازی شرایط مرزهای جانبی جعبه‌ی ESB تعریف شده است، به همین دلیل مشخصات آن عیناً مشابه خاک فرض شده است. این شرایط مرزی در پژوهشی در سال ۲۰۱۰<sup>[۲۲]</sup> جهت شبیه‌سازی عددی جعبه‌ی لمینار<sup>۸</sup> مشابه در آزمایش‌های میزلرزه استفاده شده است، که نتایج حاصل با نتایج آزمایش‌ها هم خوانی خوبی داشته است.

جدول ۴. مشخصات المان رابط.

زاویه‌ی اصطکاک بین سختی برشی ( $K_s$ )	سختی نرمال ( $K_n$ )
تونل و خاک (درجه)	(پاسکال بر متر)
۱۰°	۱۰°
۳۰	

### ۵.۳. تحلیل‌ها

پس از تعادل استاتیکی مدل تحت وزن خود، تحلیل دینامیکی با اعمال تاریخچه‌ی زمانی شتاب به کف مدل انجام شده است. گام زمانی تحلیل‌های دینامیکی برابر با  $10^{-5}$  ثانیه به دست آمده است. در هین تحلیل‌های دینامیکی، تاریخچه‌ی زمانی شتاب در نقاط مختلف مدل‌های عددی در موقعیت‌های متناظر با محل شتاب‌سنج‌های آزمایش‌های سانتریفیوژ به عنوان خروجی مدل‌ها برداشت شده است.

### ۶.۳. نتایج شبیه‌سازی‌های عددی

نتایج شبیه‌سازی عددی آزمایش T۲-۱ در قالب تاریخچه‌ی زمانی شتاب با مقادیر ثبت شده در مدل آزمایشگاهی (شتاب‌سنج‌های A۲۲ و A۳۴) [۲۲] برای زلزله‌ی نورتریج با  $g = ۸۸\text{ cm/s}^2$  در شکل ۱۰ مقایسه شده است. از مقایسه‌ی نتایج تحلیل‌های عددی با شتاب‌های ثبت شده در آزمایش‌های سانتریفیوژ به خوبی مشاهده می‌شود که مدل عددی با دقت بالایی قادر به پیش‌بینی دامنه و مسیر شتاب‌های ثبت شده در آزمایش T۲-۱ است. این تذکر لازم است که نتایج حاصله برای سایر مقادیر PGA حرکات ورودی نیز نتیجه‌ی مشابهی را به دنبال داشته است. بنابراین، مدل عددی غیرخطی مدل‌سازی شده با نتایج آزمایش‌های سانتریفیوژ صحت‌سنجدی خواهد شد و انجام مطالعات پارامتری با مدل عددی صحت‌سنجدی شده معتبر خواهد بود.

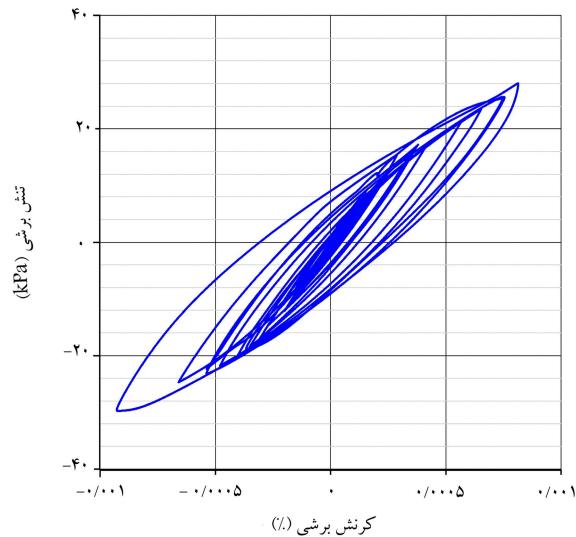
### ۴. مطالعه‌ی پارامتری

پس از صحت‌سنجدی مدل عددی، یک مطالعه‌ی پارامتری به منظور بررسی اثر انعطاف‌پذیری سازه‌ی زیرزمینی در پاسخ شتاب سطح زمین انجام شده است. پارامتر بی‌بعد ضریب انعطاف‌پذیری ( $F$ ) طبق رابطه‌ی ۶ تعریف می‌شود، که بیان‌گر میزان انعطاف‌پذیری تونل نسبت به خاک اطراف است (دستورالعمل طراحی و ساخت تونل‌های جاده‌ی، FHWI، [۲۲]):

$$F = (G_m/K_s) \cdot (W/H) \quad (6)$$

که در آن،  $G_m$  مدول برشی متوسط خاک اطراف تونل متناسب با کرنش برشی؛  $K_s$  سختی برشی پوشش تونل؛  $W$  به ترتیب عرض و ارتفاع مقطع سازه‌ی زیرزمینی؛  $K_s$  سختی برشی پوشش تونل است، که از تحلیل مجرای قاب سازه‌ی تونل (شکل ۱۱) بدست می‌آید. بدین صورت که برای قاب سازه‌ی تونل با شرایط تکیه‌گاهی ساده‌ی کف، نیروی واحد نقطه‌یی در تراز سقف تونل اعمال و تغییرمکان افقی در تراز سقف تعیین می‌شود. سختی برشی ( $K_s$ ) از تقسیم نیروی واحد اعمالی ( $P$ ) بر تغییرمکان حاصله ( $\Delta$ ) به دست می‌آید ( $K_s = P/\Delta$ ) [۲۲].

جهت تعیین  $K_s$ ، قاب سازه‌ی تونل بدون حضور خاک در نرم‌افزار مدل‌سازی شده و با اختصاص مشخصات سازه‌ی به قاب (از قبیل سختی و ضخامت) و اعمال بار واحد، تغییرمکان افقی در تراز سقف قاب محاسبه و  $K_s$  تعیین شده است. پس



شکل ۹. چرخه‌ی هیسترزیس تنش - کرنش المان در وسط مدل ۱.

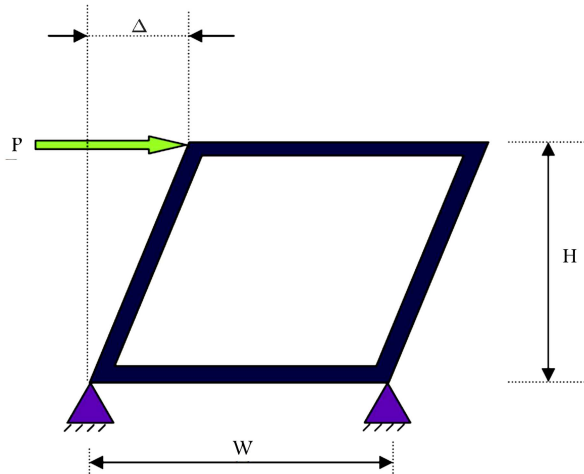
### ۴.۳. سازه‌ی زیرزمینی و اندرکنش خاک - سازه

از المان‌های تیر برای مدل‌سازی سازه‌ی تونل زیرزمینی استفاده شده است. اندرکنش بین تونل و محیط اطراف توسط المان رابط  $10^\circ$  با رفتار برشی موهر-کولمب مدل‌سازی شده است. مشخصات المان رابط شامل سختی برشی و قائم ( $K_s$ ،  $K_n$ ) و همچنین زاویه‌ی اصطکاک بین دو محیط (۸) — که المان رابطه‌ی واسطه بین آن دو است — هستند. پارامترهای سختی المان رابط به توصیه‌ی آیتسکا، [۱۱] و طبق رابطه‌ی ۵ محاسبه شده است:

$$K_n = K_s = 10 \cdot \max \left[ \frac{K + \frac{\tau}{\gamma} G_{\max}}{\Delta l_{\min}} \right] \quad (5)$$

که در آن،  $K$  مدول بالک محیط سخت تر و  $\Delta l_{\min}$  طول ریزترین المان در راستای عمود بر جهت المان رابط است، که برابر  $5\text{ cm}$  متر در نظر گرفته شده است. طبق رابطه‌ی ۵، مقادیر سختی برشی و نرمال برای المان رابط بین مصالح خاک و بت، برابر با  $10^{11}\text{ Pa/m}$  [۲۲] به دست آمده است. طبق توصیه‌ی آیتسکا، استفاده از مقادیر بسیار بالای سختی برای المان رابط توصیه نمی‌شود؛ چرا که این مقادیر از سختی به شدت، مدت زمان تحلیل دینامیکی مستغله را افزایش می‌دهد. لذا با سعی و خطا مقادیر کمتر سختی برای المان رابط ( $10^4\text{ Pa/m}$ ) انتخاب شده است، به طوری که کاهش سختی تا میزان مذکور، تأثیری در نتایج صحت‌سنجدی نداشته است.

زاویه‌ی اصطکاک بین مصالح تونل از جنس بت و خاک، از مطالعات گومزو همکاران [۲۰۰۳]، [۲۲] برآورد شده است. این میزان از زاویه‌ی اصطکاک، هم خوانی مناسبی با مقدار معمول  $5\text{ to }15^\circ$  دارد، که برای ماسه‌ی متراکم در این مطالعه، با زاویه‌ی اصطکاک  $45^\circ$  درجه،  $\Delta = 5\text{ cm}$  به دست می‌دهد. درخصوص سازه‌های زیرزمینی به دلیل احاطه‌شدن سازه از اطراف و محدود شدن حرکات نسبی، اندرکنش بین خاک و سازه به اهمیت سازه‌های روی سطح زمین نیست. مطالعه‌ی پارامتری انجام شده توسط نویسنده‌گان نشان داده است که تغییرات انگک در پارامترهای عنصر واسطه (رابطه)، تأثیر چندانی در پاسخ لرزه‌یی سطح زمین و شتاب‌های ثابت شده ندارند. مشخصات المان رابط در جدول ۴ ارائه شده است.



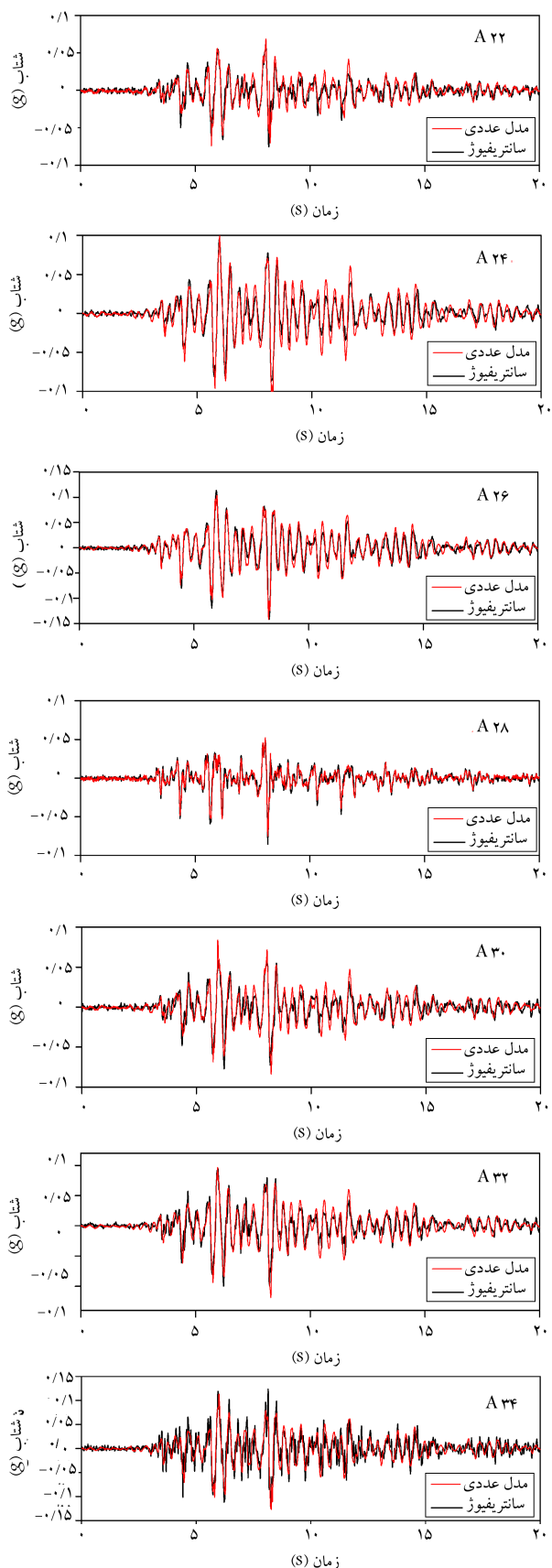
شکل ۱۱. قاب سازه‌ی جهت تعیین  $K_S$

از تعیین  $K_S$ ، مقادیر ضریب انعطاف‌پذیری پوشش تونل با مقطع مستطیلی طبق رابطه‌ی ۶ محاسبه شده است. ضریب انعطاف‌پذیری بالاتر به معنی انعطاف‌پذیرتر بودن سازه‌ی زیرزمینی نسبت به محیط اطراف است.

در این مطالعه، از سه مصالح با سختی متفاوت در پوشش تونل استفاده شده است. با ثابت نگهداشتن ضخامت پوشش، ۳ ضریب انعطاف‌پذیری ۷، ۲۱ و ۷۲ به ترتیب برای مصالح فولادی، آلومینیومی و بتُنی پوشش به دست آمده است. در جدول ۵ مشخصات مدل‌های در نظر گرفته شده در مطالعه‌ی پارامتری اثر ضریب انعطاف‌پذیری پوشش ارائه شده است.

در جدول مذکور، دوره‌ی تابوب طبیعی سیستم‌های شماره ۱ تا ۴ نیز نشان داده شده است. همان‌طور که مشاهده می‌شود، با افزایش ضریب انعطاف‌پذیری سیستم، دوره‌ی تابوب طبیعی سیستم افزایش یافته است، که به منزله‌ی نرم ترشدن سیستم است. مصالح پوشش تونل در تحلیل‌های شماره‌ی ۳ و ۴ از دو جنس متفاوت است، ولی ضخامت پوشش‌ها طوری انتخاب شده است تا ضریب انعطاف‌پذیری برای هر دو مدل یکسان باشد ( $F = 72$ ). نتیجه‌ی این مقایسه، کاربرد پارامتر ضریب انعطاف‌پذیری ( $F$ ) را به عنوان یک پارامتر بی‌بعد در مطالعات مشخص می‌کند. بدین صورت که انتظار می‌رود برای دو ضریب انعطاف‌پذیری یکسان، نتایج یکسانی برای شتاب در سطح زمین به دست آید. نکته‌ی قابل توجه، یکسان بودن دوره‌ی تابوب طبیعی این دو مدل (برابر با  $40^{\circ}$  ثانیه) است. نتیجه‌ی این مقایسه در شکل ۱۲ برای زلزله‌ی کوبه با  $g = 0.75$  در قالب طیف پاسخ شتاب در سطح زمین نشان داده شده است. همان‌طور که مشاهده می‌شود، طیف پاسخ شتاب در سطح زمین برای دو جنس متفاوت مصالح پوشش (فولاد و بتُن) ولی با ضریب انعطاف‌پذیری نسبی یکسان ( $F = 72$ )، برابر شده است. نتایج این تحلیل نشان می‌دهد که ضریب انعطاف‌پذیری نسبی یکسان برای دو سیستم با مشخصات مصالح مختلف به منزله‌ی تأثیر مشابه دو سیستم در پاسخ لرزه‌ی در سطح زمین خواهد بود. بنابراین پارامتر  $F$  یک پارامتر بی‌بعد مناسب در بررسی پاسخ لرزه‌ی تونل در سطح زمین است.

به منظور بررسی تأثیر پارامتر ضریب انعطاف‌پذیری در پاسخ شتاب در سطح زمین، نتایج حاصل از تحلیل‌های تعریف شده برای این منظور (تحلیل‌های شماره‌ی ۱ الی ۳ در جدول ۵)، در قالب طیف پاسخ شتاب در سطح زمین در شکل‌های ۱۳ و ۱۴ به ترتیب برای زلزله‌ی کوبه با  $g = 0.75$  و نورتريج با  $g = 0.88$  در مقایسه با  $g = 0.88$  نشان داده شده است.



شکل ۱۰. نتایج شبیه‌سازی عددی آزمایش ۱-۲: زلزله‌ی کوبه با  $g = 0.88$ .  $\text{PGA} =$

جدول ۵. تحلیل‌های پارامتری تعریف شده.

شماره‌ی تحلیل	جنس مصالح	مدول کشسانی (گیگاپاسکال)	ضخامت پوشش (مترا)	پوشش (متر)	ضریب انعطاف‌پذیری (F)	ضریب سیستم (ثانیه)	دوره‌ی تناوب طبیعی
۱	فولاد	۲۰۰	۰,۶	۰,۳	۷	۰,۳۳	
۲	آلومینیوم	۷۰	۰,۶	۰,۳۳	۲۱	۰,۳۵	
۳	بتن	۲۰	۰,۶	۰,۲	۷۲	۰,۴	
۴	فولاد	۲۰۰	۰,۲۷	۰,۳	۷۲	۰,۴	

نشان داده شده است. از بررسی طیف‌های پاسخ شتاب در سطح زمین در شکل‌های ۱۳ و ۱۴، این نتایج به دست آمده است:

-- روند نتایج حاصله برای دو زلزله‌ی کوبه و نورتربیج مشابه است و تأثیر انعطاف‌پذیری پوشش در پاسخ شتاب در سطح زمین در هر دو شکل نمایان است.

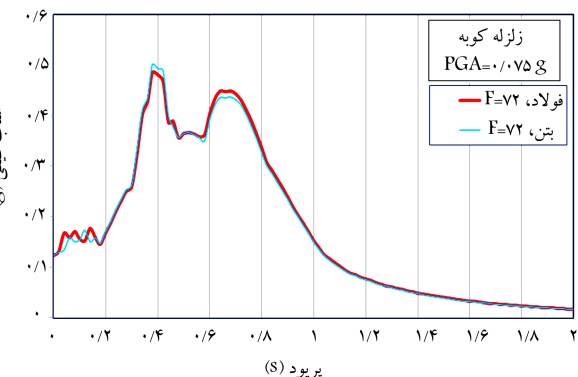
-- با کاهش ضریب انعطاف‌پذیری تونل (افزایش سختی پوشش)، میران بیشینه‌ی شتاب در سطح زمین (PGA) افزایش یافته است.

-- تونل با انعطاف‌پذیری کمتر (پوشش سخت‌تر)، پاسخ بیشتری در دوره‌ی تناوب کم نسبت به تونل با انعطاف‌پذیری بیشتر دارد. عکس این موضوع برای دوره‌های تناوب بالاتر اتفاق افتاده است، به طوری که تونل با پوشش نرم‌تر، پاسخ بیشتری نسبت به تونل سخت‌تر دارد. در مطالعه‌ی پارامتری انجام شده، پوشش فولادی، بیشترین پاسخ را داشته است و پوشش آلومینیومی با سختی کمتر، پاسخ کمتری نسبت به پوشش فولادی و پوشش بتنی با کمترین سختی، کمترین پاسخ را در دوره‌های تناوب کم داشته‌اند.

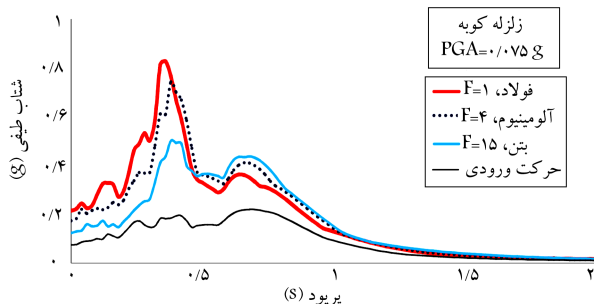
-- با افزایش ضریب انعطاف‌پذیری پوشش، سختی سیستم کاهش یافته است، که افزایش دوره‌ی تناوب طبیعی سیستم را در پی داشته است (جدول ۵). در طیف‌های پاسخ شتاب نشان داده شده در شکل‌های ۱۳ و ۱۴، پیک اول پاسخ در بسامد طبیعی سیستم اتفاق افتاده است. همان‌طور که در شکل‌های مذکور مشاهده می‌شود، با افزایش ضریب انعطاف‌پذیری پوشش، پاسخ بیشینه‌ی در دوره‌ی تناوب بیشتری اتفاق افتاده و بیشینه‌ی پاسخ در نمودار به سمت راست (دوره‌ی تناوب بالاتر) متمایل شده است. این مسئله در مطالعه‌ی آزمایشگاهی انجام شده در پژوهشی در سال ۲۰۱۱ [۲] نیز مشاهده شده است.

-- تأثیر پارامتر انعطاف‌پذیری در پاسخ شتاب در سطح زمین در دوره‌های تناوب کوتاه به مرتب مشهودتر از تأثیر این پارامتر در پاسخ شتاب در دوره‌های تناوب بلندتر است. دلیل این مسئله، انتطباق دوره‌های تناوب طبیعی سیستم‌های مورد بررسی با دوره‌های تناوب کوتاه است، که باعث تقویت پاسخ شتاب در این دوره‌های تناوب نسبت به دوره‌های تناوب بلندتر شده است. لذا میران تأثیر پارامتر انعطاف‌پذیری در پاسخ شتاب در سطح زمین متأثر از دوره‌ی تناوب طبیعی سیستم مورد بررسی است. برای مثال، در شکل ۱۳، میران تأثیر پارامتر انعطاف‌پذیری در پاسخ شتاب در دوره‌های تناوب کم نظری دوره‌های تناوب طبیعی سیستم‌ها بسیار بیشتر از تأثیر این پارامتر در دوره‌های تناوب بالاتر است. همان‌طور که در شکل ۱۴ مشاهده می‌شود، میران تأثیر پارامتر انعطاف‌پذیری در دوره‌های تناوب کم بسیار مشهود بوده، ولی در دوره‌های تناوب بالاتر این تأثیر قابل اغماض است.

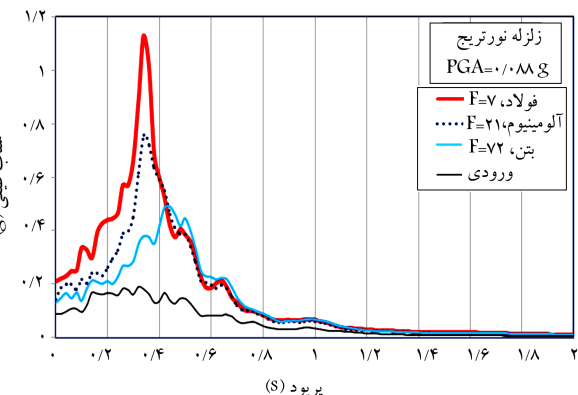
-- رکورد زلزله‌ی کوبه با بسامد غالب ۱/۴ هرتز نسبت به زلزله‌ی نورتربیج با ضریب غالب ۳ هرتز، یک زلزله‌ی میدان نزدیک حاوی دوره‌ی تناوب بالاتر است. مطابق



شکل ۱۲. طیف پاسخ شتاب در سطح زمین برای مصالح پوشش با جنس متفاوت ولی با ضریب انعطاف‌پذیری یکسان.



شکل ۱۳. طیف پاسخ شتاب در سطح زمین برای مصالح پوشش با ضریب انعطاف‌پذیری متفاوت - زلزله‌ی کوبه.



شکل ۱۴. طیف پاسخ شتاب در سطح زمین برای مصالح پوشش با ضریب انعطاف‌پذیری متفاوت - زلزله‌ی نورتربیج.

## ۵. نتیجه‌گیری

پس از صحبت‌سنگی یک مدل عددی با نتایج آزمایش‌های سانتریفیوژ انجام گرفته بر روی یک تونل مترو، اثر انعطاف‌پذیری سازه‌ی زیرزمینی در پاسخ شتاب در سطح زمین مورد مطالعه قرار گرفته است. این مسئله از طرقی یک مطالعه‌ی پارامتری با درنظر گرفتن ۳ جنس مختلف از مصالح پوشش (با ۳ ضریب انعطاف‌پذیری متفاوت) مورد بررسی قرار گرفته و این نتایج حاصل شده است:

۱. دو سیستم تونل با ضریب انعطاف‌پذیری برابر، منجر به پاسخ یکسان شتاب در سطح زمین می‌شوند.

۲. ضریب انعطاف‌پذیری پوشش سازه‌ی زیرزمینی، پاسخ شتاب در سطح زمین را تحت تأثیر قرار می‌دهد و این مسئله تحت تأثیر محتوای بسامدی حرکت ورودی و بسامد طبیعی سیستم است.

۳. با کاهش ضریب انعطاف‌پذیری تونل (افزایش سختی پوشش)، میزان بیشینه شتاب در سطح زمین (PGA) افزایش می‌یابد.

۴. با افزایش انعطاف‌پذیری پوشش، سختی سیستم کاهش می‌یابد، که افزایش دوره‌ی تناوب طبیعی سیستم را در پی دارد و لذا بیشینه‌ی پاسخ شتاب در دوره‌های تناوب بالاتری اتفاق می‌افتد.

۵. پوشش سخت‌تر (خریب انعطاف‌پذیری کمتر)، باعث بزرگ‌نمایی بیشتر پاسخ شتاب در دوره‌های تناوب کوتاه نسبت به پوشش‌های منعطف‌تر می‌شود، در حالی که پوشش منعطف‌تر منجر به پاسخ بیشتر در دوره‌های تناوب بلندتر نسبت به پوشش‌های سخت‌تر می‌شود.

۶. تونل با پوشش منعطف‌تر، باعث بزرگ‌نمایی دوره‌های تناوب بالاتر می‌شود، که می‌تواند برای سازه‌های بلند خط‌آفرین باشد. عکس این قضیه برای تونل با پوشش سخت‌تر مطرح است، که باعث بزرگ‌نمایی بیشتر در دوره‌های تناوب پایین می‌شود و سازه‌های کم ارتفاع را تهدید می‌کند.

۷. در این مطالعه، تأثیر پارامتر انعطاف‌پذیری در پاسخ شتاب در سطح زمین در دوره‌های کوتاه به مرتب مشهودتر از تأثیر این پارامتر در پاسخ شتاب در دوره‌های تناوب بلندتر بوده است. دلیل این مسئله انتباط دوره‌ی تناوب طبیعی سیستم‌های مورد بررسی با دوره‌های تناوب کوتاه است، که باعث تقویت پاسخ شتاب در این دوره‌های تناوب نسبت به دوره‌های تناوب بلندتر شده است. لذا میزان تأثیر پارامتر انعطاف‌پذیری در پاسخ شتاب در سطح زمین متأثر از دوره‌ی تناوب طبیعی سیستم مورد بررسی است.

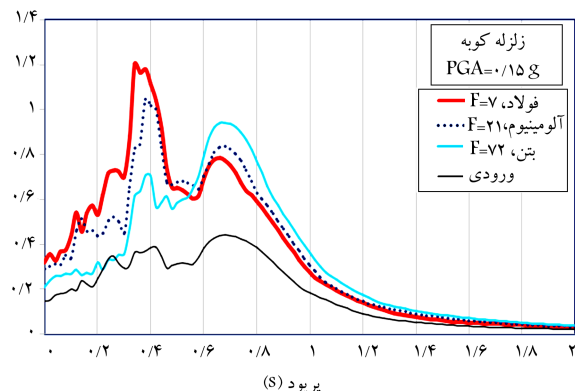
۸. تأثیر ضریب انعطاف‌پذیری پوشش تونل در شتاب سطح زمین برای سطوح مختلف از بیشینه‌ی شتاب ورودی بررسی شده و نتایج حاصله در موارد ۱ تا ۶ در بخش نتیجه‌گیری، در تمامی سطوح شتاب ورودی مشاهده شده است. افزایش PGA تحریک اعمالی منجر به غیرخطی تر شدن خاک و در نتیجه کاهش بزرگ‌نمایی به ویژه در دوره‌ی تناوب طبیعی سیستم نسبت به تحلیل PGA کمتر شده است. به عبارت دیگر، تأثیر پارامتر ضریب انعطاف‌پذیری در پاسخ شتاب در سطح زمین در دوره‌های تناوب نظری دوره‌ی تناوب طبیعی سیستم در PGA های کمتر مشهودتر است.

براساس نتایج حاصله از مطالعه‌ی پارامتری انجام شده در محیط غیرخطی خاک، اهمیت تأثیر پارامتر انعطاف‌پذیری پوشش تونل در اندرکنش دینامیکی این گونه سازه‌های زیرزمینی با محیط مجاور مشخص شده است. این تذکر لازم است که

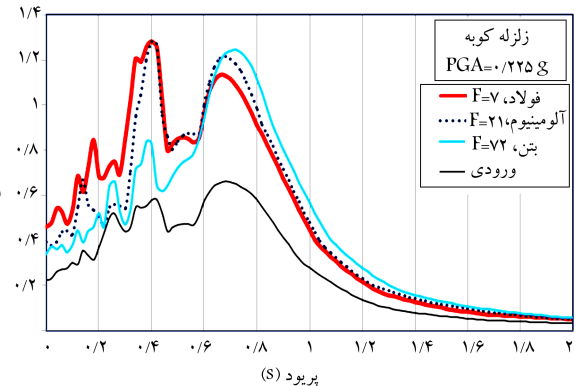
شکل ۱۳، دوره‌های تناوب بالاتر در طیف پاسخ زلزله‌ی کوبه، پاسخ بیشتری دارد و اثر انعطاف‌پذیری پوشش در این دوره‌های تناوب نمایان‌تر است. این بدان معنی است که پوشش منعطف‌تر تونل، باعث بزرگ‌نمایی دوره‌های تناوب بالاتر شده است، که می‌تواند برای سازه‌های بلند خط‌آفرین باشد. عکس این قضیه نیز برای پوشش سخت‌تر مطرح است، که باعث بزرگ‌نمایی بیشتر در دوره‌های تناوب پایین می‌شود و ساختمان‌های کوتاه مجاور تونل را تهدید می‌کند.

به منظور بررسی اثرات شتاب بیشینه‌ی موج ورودی در نتایج حاصله، تحلیل‌های شماره‌ی ۱ تا ۳ جدول ۵ با مقادیر بزرگ‌تر PGA حرکت ورودی انجام شده است، تا اثر غیرخطی شدن خاک در نتایج حاصله مشخص شود. بدین منظور زلزله‌ی کوبه با بیشینه‌ی شتاب ۲ و ۳ برابر PGA استفاده شده در مطالعه‌ی پارامتری عرضی g  $= ۰,۲۲۵$  در مدل سازی عددی استفاده شده است که نتایج این تحلیل‌ها در قالب طیف پاسخ شتاب در سطح زمین در شکل‌های ۱۵ و ۱۶ نشان داده شده است.

مطابق شکل‌های ۱۵ و ۱۶، نتایج حاصله در این تحلیل‌ها مؤید نتایج حاصله از تحلیل با شتاب‌های بیشینه‌ی کمتر است. بیشینه‌ی شتاب بالاتر منجر به غیرخطی تر شدن خاک و در نتیجه کاهش بزرگ‌نمایی به ویژه در دوره‌ی تناوب طبیعی سیستم نسبت به تحلیل با PGA کمتر شده است. به عبارت دیگر، تأثیر پارامتر ضریب انعطاف‌پذیری در پاسخ شتاب در سطح زمین در PGA های کمتر در دوره‌های تناوب نظیر دوره‌ی تناوب طبیعی سیستم مشهودتر است.



شکل ۱۵. طیف پاسخ شتاب در سطح زمین برای مصالح پوشش با ضریب انعطاف‌پذیری متفاوت - زلزله‌ی کوبه  $g = 0,15$ .



شکل ۱۶. طیف پاسخ شتاب در سطح زمین برای مصالح پوشش با ضریب انعطاف‌پذیری متفاوت - زلزله‌ی کوبه  $g = 0,225$ .

از جمله تونلی با مقطع مستطیلی، عمق قرارگیری مشخص تونل و با شرایط خاص ژئوتکنیکی بوده است. تعیین نتایج به دست آمده برای تونل های با مقطع دایره‌بی، تونل های عمیق و یا تونل های با شرایط ژئوتکنیکی متفاوت نیازمند بررسی اثر این پارامترها به صورت جداگانه در نتایج به دست آمده است.

پاسخ شتاب سطح زمین در مجاورت یک تونل زیرزمینی علاوه بر پارامتر ضریب انعطاف پذیری پوشش تونل، متأثر از پارامترهای متعددی از جمله: مقطع هندسی سازه‌ی زیرزمینی، عمق سازه‌ی زیرزمینی، مشخصات خاک، و خصوصیات زلزله‌ی اعمالی است. لذا نتایج حاصله در این نوشتار، محدود به شرایط خاص این مطالعه

## پانوشت‌ها

1. Daikai
2. Korean advanced institute of science & technology (KAIST)
3. Prototype
4. equivalent shear beam
5. compliant
6. quiet
7. Liner
8. Laminar
9. Hardin-Drivich
10. interface
11. Itasca
12. racking stiffness

## منابع (References)

1. Yoshida, N. and Nakamura, S. "Damage to daikai subway station, during the 1995 Hyogoken-Nunbu earthquake and its investigation", 11WCEE, Paper No. 2151 (1996).
2. Cilingir, U. and Madabhushi, S.P.G. "A model study on the effects of input motion on the seismic behaviour of tunnels", *Soil Dynamics and Earthquake Engineering*, **31**(3), pp. 452-462 (2011).
3. Cilingir, U. and Madabhushi, S.P.G. "Effect of depth on seismic response of circular tunnels", *Canadian Geotechnical Journal*, **48**(1), pp. 117-127 (2011).
4. Penzien, J. "Seismically-induced racking of tunnel linings", *Earthquake Engineering and Structural Dynamics*, **29**(5), pp. 683-691 (2000).
5. Komakpanah, A., Shahmohammadi, B., "Effect of tunnel depth on the seismic response of subway tunnels", *Sharif Journal*, **27-2** (2): pp. 117-126, (in Persain) (2011)
6. Migliazza, M., Chiorboli, M. and Giani, G.P. "Comparison of analytical method, 3D finite element model with experimental subsidence measurements resulting from the extension of the Milan underground", *Computers and Geotechnics*, **36**(1-2), pp. 113-124 (2009).
7. Yiouta-Mitra, P., Kouretzis, G., Bouckovalas, G. and Sofianos, A. "Effect of underground structures in earthquake resistant design of surface structures", ASCE GSP 160, Dynamic Response and Soil Properties, Geo-Denver: New Peaks in Geotechnics, pp. 1-10 (2007).
8. Wong, K.C., Shah, A.H. and Datta, S.K. "Diffraction of elastic waves in a halfspace.II. Analytical and numer-
- ical solutions", *Bulletin of the Seismological Society of America*, **75**(1), pp. 69-92 (1985).
9. Dravinski, M. "Ground motion amplification due to elastic inclusions in a halfspace", *Earthquake Engineering and Structural Dynamics*, **11**(3), pp. 313-335 (1983).
10. Pao, H.Y. and Maw, C.C., *The Diffraction of Elastic Waves and Dynamic Stress Concentrations*, Ccrane-Russak, New York (1973).
11. Lee, V.W. "Three dimensional diffraction of elastic waves by a spherical cavity in an elastic halfspace: Closed form solutions", *Soil Dynamics and Earthquake Engineering*, **7**(3), pp. 149-161 (1988).
12. Smerzini, C., Aviles, J., Paolucci, R. and Sanchez-Sesma, F.J. "Effect of underground cavities on surface ground motion under SH wave propagation", *Earthquake Engineering and Structural Dynamics*, **38**(2), pp. 1441-1460 (2009).
13. Sun, Ch. and Wang, Q. "Effects of underground structure on acceleration response of site", *Advanced Materials Research*, **368-373**, pp. 2791-2794 (2012).
14. Sica, S., Rotili, F., Simonelli, A.L. and Dello Russo, A. "The role of underground cavities on ground motion amplification", *In Proc. of 15 World Conference Earthquake Eng, Societade Portuguesa Engenharia Sismica* (2012).
15. Abuhajar, O., El Naggar, H. and Newson, T. "Effects of underground structures on amplification of seismic motion for sand with varying density", *Pan-Am CGS Geotechnical Conference* (2011).
16. Choo, Y.W., Kim, S.J., Ha, J.G. and Kim, D.S. "Centrifuge modeling of buried box structure subject to earthquake", *Proceeding of the 14th Asian Regional Conference on Soil Mechanics and Geotechnical Engineering*, Hong Kong, China ( 2011).
17. Kim, D.S., Kim, N.R., Choo, Y.W. and Cho, G.Ch. "A newly developed state-of-the-art geotechnical centrifuge in korea", *KSCE Journal of Civil Engineering*, **17**(1), pp. 77-84 (2013).
18. Lee, S.H., Choo, Y.W. and Kim, D.S. "Performance of an equivalent shear beam (ESB) model container for dynamic geotechnical centrifuge tests", *Soil Dynamics and Earthquake Engineering*, **44**, pp. 102-114 (2013).
19. Kuhlemeyer, R.L. and Lysmer, J. "Finite element method accuracy for wave propagation problems", *Journal of Soil Mechanics & Foundations, Div. ASCE*, **99**(5), pp. 421-427 (1973).

20. Mejia, L.H. and Dawson, E.M. "Earthquake deconvolution for FLAC", *Proceedings of the 4th International FLAC Symposium*, Madrid, Spain, pp. 211-219 (May 2006).
21. Luzhen, J., Jun, Ch. and Jie, L. "Seismic response of underground utility tunnels: Shaking table testing and FEM analysis", *Earthquake Engineering and Engineering Vibration*, **9**(4), pp. 555-567 (2010).
22. Itasca Consulting Group, *FLAC – Fast Lagrangian Analysis of Continua*, Ver. 5.0 User's Guide, Minneapolis, Itasca (2005).
23. Gómez, J.E., Filz, G.M. and Ebeling, R.M. "Extended hyperbolic model for sand-to-concrete interfaces", *Journal of Geotechnical and Geoenvironmental Engineering*, **129**(11), pp. 993-1000 (2003).
24. FHWA, *Technical Manual for Design and Construction of Road Tunnels-Civil Elements*, Publication No. FHWA-NHI-10-034 (2009).